

СПЕКТРОСКОПИЯ ОКРУЖАЮЩЕЙ СРЕДЫ

УДК 551.521.32; 550.388.2

В.А. Янковский, В.А. Кулешова

Фотодиссоциация озона в полосе Хартли. Аналитическое описание квантовых выходов $O_2(a^1\Delta_g, v = 0\div3)$ в зависимости от длины волны

НИИ физики им. В.А. Фока Санкт-Петербургского университета

Поступила в редакцию 14.02.2006 г.

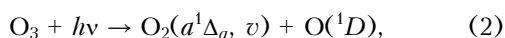
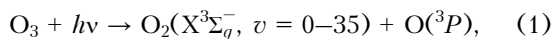
В современной фотохимической модели диссоциации озона в полосе Хартли (Янковский В.А., Мануйлова Р.О. // Оптика атмосф. и океана. 2003. Т. 16. № 7. С. 582–586) необходимо учитывать образование метастабильных электронно-возбужденных молекул кислорода $O_2(a^1\Delta_g, v)$ с высокой степенью колебательного возбуждения.

Впервые предложена аналитическая аппроксимация для описания зависимости квантовых выходов электронно-колебательно-возбужденных молекул $O_2(a^1\Delta_g, v = 0\div3)$ синглетного канала фотолиза озона в полосе Хартли в зависимости от длины волны фотокванта. Получена единая аналитическая формула для всех квантовых выходов электронно-колебательно-возбужденных молекул $O_2(a^1\Delta_g, v)$, которая зависит как от порога образования соответствующего колебательного уровня молекулы $O_2(a^1\Delta_g, v)$, так и от энергии фотокванта. Результаты хорошо согласуются с известными экспериментальными данными.

Введение

Общепринятая в настоящее время модель фотодиссоциации озона и кислорода в полосах Хартли, Хаггинса и Шаппюи и молекулярного кислорода в континууме Шумана–Рунге рассматривает только три электронных уровня возбуждения молекулы кислорода без учета колебательного возбуждения, а именно: основное и два нижних синглетных состояния $O_2(X^3\Sigma_g^-)$, $O_2(a^1\Delta_g)$ и $O_2(b^1\Sigma_g^+)$ [1]. Это упрощенное предположение является несостоительным ввиду экспериментально доказанных фактов, что при фотодиссоциации озона в полосах Хартли, Хаггинса и Шаппюи подавляющая доля продуктов образуется в электронно-колебательно-возбужденных состояниях. Современная фотохимическая модель диссоциации озона и кислорода учитывает образование молекул кислорода с высокой степенью электронно-колебательного возбуждения не только в фотолизе O_3 и O_2 , но и в процессах обмена энергией между продуктами фотолиза [2].

Фотолиз озона в полосе Хартли идет по двум каналам:



где (1) – триплетный, (2) – синглетный каналы.

При уменьшении длины волны фотолитического излучения изменяются продукты фотолиза озона: подключаются все более высоковозбужденные

колебательные уровни $O_2(X^3\Sigma_g^-, v)$ в триплетном и $O_2(a^1\Delta_g, v)$ в синглетном каналах соответственно.

Зависимость квантовых выходов $O_2(X^3\Sigma_g^-, v)$ в триплетном канале была статистически исследована в работе [3]. Была получена таблица дискретных значений квантовых выходов для $O_2(X^3\Sigma_g^-, v = 0\div35)$ в зависимости от длины волны. Необходимо подчеркнуть, что табличные значения неудобны для аналитических расчетов и требуют последующих интерполяций. Для синглетного канала экспериментальные данные для фиксированных длин волн фотолитического излучения измерялись с начала 1980 гг. [4–7]. Однако пока данных было мало и какой-либо систематики их не проводилось. Выход колебательно-возбужденных продуктов фотолиза озона в расчетах не учитывался, хотя уже при длине волны 254 нм (пик сечения полосы Хартли) доля колебательно-возбужденных продуктов в канале (2) достигает 70%.

В табл. 1 представлены пороговые значения длин волн, начиная с которых происходит возбуждение указанных уровней молекулы O_2 .

Таблица 1

Пороговые значения длин волн для образования продуктов фотолиза озона в полосе Хартли (200–310 нм) в синглетном канале

Продукты фотолиза озона	$O_2(a^1\Delta_g, 0)$	$O_2(a^1\Delta_g, 1)$	$O_2(a^1\Delta_g, 2)$	$O_2(a^1\Delta_g, 3)$
Пороговые значения λ , нм	310	296	284	273

1. Квантовые выходы молекулы $O_2(a^1\Delta_g, v)$ в синглетном канале фотолиза озона

Для реализации модели фотодиссоциации озона в полосе Хартли необходимо знать зависимость квантовых выходов $F(a^1\Delta_g, v)$ синглетного канала фотолиза озона от длины волны λ . В такой постановке эта задача не решалась. К настоящему времени собран относительно большой экспериментальный материал по квантовым выходам $F(a^1\Delta_g, v)$ колебательно-возбужденных молекул $O_2(a^1\Delta_g, v)$, образующихся при фотолизе озона в полосе Хартли. Квантовые выходы $F(a^1\Delta_g, v)$ получены для фиксированных значений λ в интервале длин волн от 235 до 293 нм и для определенных значений $v = 0 \div 3$. Все известные экспериментальные данные представлены в табл. 2.

Таблица 2

Квантовые выходы колебательно-возбужденных уровней молекул $O_2(a^1\Delta_g, v)$, образующихся при фотолизе озона в полосе Хартли, в зависимости от длины волны

$\lambda, \text{ нм}$	$v = 0$	$v = 1$	$v = 2$	$v = 3$	Ссылка
235	0,30	0,24	0,15	0,07	[7]
240	0,64	0,15	0,08	0,04	[5]
245	0,34	0,23	0,20	0,08	[7]
248	0,49	0,15	0,15	0,08	[6]
248,5	0,60	0,18	0,09	0,05	[5]
255	0,39	0,30	0,14	0,10	[7]
265	0,44	0,32	0,14	0,10	[7]
266	0,57	0,24	0,12	0,07	[4]
266,5	0,52	0,27	0,14	0,07	[7]
275	0,59	0,26	0,15		[7]
275,5	0,61	0,27	0,12		[6]
280	0,70	0,30			[6]
280,5	0,70	0,22	0,08		[5]
285	0,71	0,29			[7]
285,5	0,76	0,24			[6]
293	0,76	0,24			[5]

Необходимо заметить, что в цитируемых работах измерялся квантовый выход $F_{a,v}$ молекул $O_2(a^1\Delta_g, v)$ для фиксированных длин волн, указанных в первом столбце табл. 2, в зависимости от колебательного уровня v , хотя для расчета эффективности квантового выхода необходима зависимость $F_{a,v} = F_{a,v}(\lambda)$ при фиксированном значении v . Недавно появились новые данные по квантовым выходам в [7, 8], поэтому мы обратились к задаче аппроксимации $F_{a,v} = F_{a,v}(\lambda)$.

В работе [8] сделана попытка теоретически рассчитать $F_{a,v}(v)$ для фиксированных значений λ в рамках классического и квантово-механического подходов. Результаты этого исследования для $v = 0 \div 3$ представлены на рис. 1.

Характерной особенностью экспериментальных данных является то, что квантовый выход $O_2(a^1\Delta_g, v)$ спадает при увеличении колебательного числа v . Монотонный спад $F_{a,v}$ при уменьшении λ наблюдается только для $v = 0$, но для $v \geq 1$ значения $F_{a,v}$ имеют слабо выраженные максимумы при определенных длинах волн фотолитического излучения.

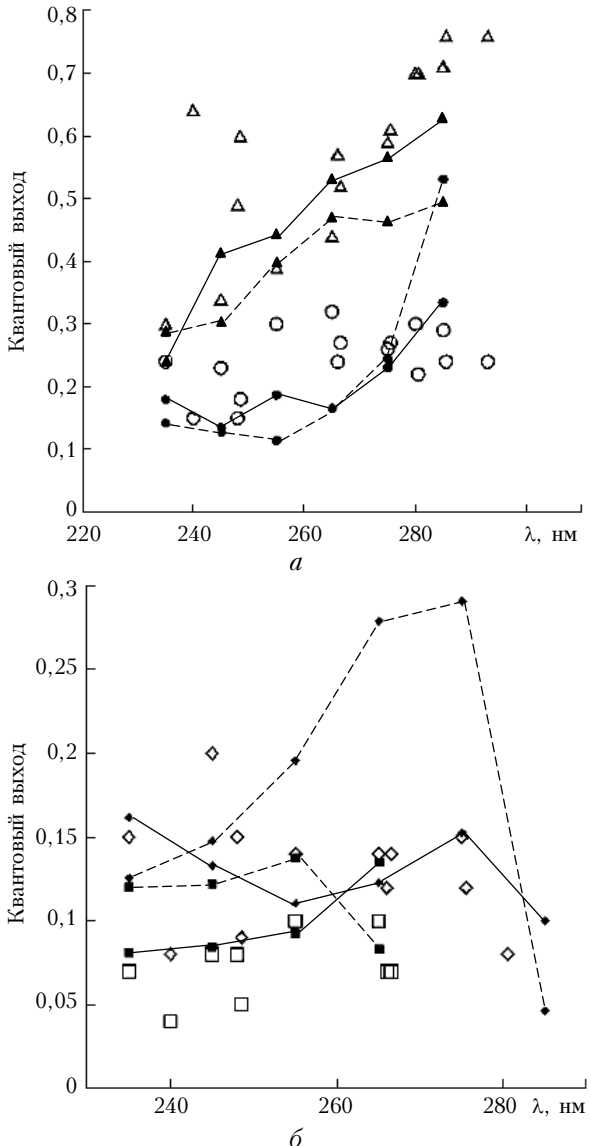


Рис. 1. Квантовые выходы молекул $O_2(a^1\Delta_g, v = 0 \div 3)$, рассчитанные в рамках классического и квантово-механического подходов [8]: $a - v = 0$ и 1 ; $b - v = 2, 3$. Символы — экспериментальные данные (см. табл. 2): треугольники ($v = 0$), круги ($v = 1$), ромбы ($v = 2$), квадраты ($v = 3$), кривые с соответствующими символами — теоретический расчет из работы [8] (сплошные линии — классический подход, пунктирные линии — квантово-механический подход)

Теоретические расчеты, проведенные в работе [8], хорошо согласуются с экспериментальными данными только для $v = 0$. Для других значений v теоретические расчеты, как в классическом, так и в квантово-механическом подходах, не только не согласуются с экспериментом, но даже между собой, как это видно из рис. 1.

Так как теория плохо согласуется с экспериментальными данными и не может использоваться для получения интегральных квантовых выходов в полосе Хартли, мы поставили задачу получить аппроксимации зависимости $F_{a,v}$ от длины волны для различных колебательных чисел.

2. Аналитическое описание зависимости $F_{a,v}$ от длины волн

Специфической особенностью процесса фотодиссоциации является существование пороговых длин волн, с которых начинает подключаться следующий колебательный уровень $O_2(a^1\Delta_g, v)$ (см. табл. 1).

Дефект энергии реакции (2) выражается формулой

$$\Delta E = E - E_{DO_3} - E_{1D} - E_{a0}, \quad (3)$$

где E – энергия фотокванта; E_{DO_3} – энергия диссоциации молекулы озона (1,05 эВ); E_{1D} – энергия возбуждения атома $O(^1D)$ из основного состояния атома кислорода (1,97 эВ); E_{a0} – энергия возбуждения уровня $O_2(a^1\Delta_g, v=0)$ по отношению к основному состоянию молекулы кислорода (0,98 эВ).

Тогда квантовый выход $O_2(a^1\Delta_g, v=0)$ определяется долей энергии, идущей на возбуждение этого уровня, и соответствует физически очевидному выражению

$$F_{a,0}(x) = C_0 x, \quad (4)$$

где параметр

$$x = \exp\left(-\frac{\Delta E}{E_{a0}}\right) \quad (5)$$

определяет долю молекул $O_2(a^1\Delta_g, v=0)$, имеющих энергию выше порога возбуждения этого уровня молекулы кислорода [здесь ΔE из (3)].

Нормировочный множитель C_0 рассчитывается из условия, что квантовый выход всех электронно-колебательно-возбужденных молекул в синглетном канале (2) равен единице и численно находится из условия нормировки (4) вблизи длинноволнового порога полосы Хартли:

$$C_0 = F_{a,0}(x_0)/x_0. \quad (6)$$

Следующий колебательный уровень молекулы $O_2(a^1\Delta_g, v=1)$ будет образовываться, начиная с пороговой энергии для $v=1$, как доля молекул, оставшаяся от возбуждения $O_2(a^1\Delta_g, v=0)$. Тогда квантовый выход $F_{a,1}$ будет соответствовать физически очевидному выражению

$$F_{a,1}(x) = C_1 x(1-x). \quad (7)$$

Нормировочный множитель C_1 рассчитывается для пороговой энергии возбуждения $O_2(a^1\Delta_g, v=1)$, но с учетом предыдущего канала C_0 :

$$\sum_{i=0}^v F_{a,i}(x_i) = 1. \quad (8)$$

Из (8) следует

$$C_1 = \frac{1 - C_0 x_1}{x_1(1 - x_1)}. \quad (9)$$

Причем аппроксимация $F_{a,1}$, как сказано выше, справедлива для значений энергии выше порога возбуждения $O_2(a^1\Delta_g, v=1)$.

Из рис. 2 видно, что аналитические формулы для $F_{a,v}$ хорошо описывают экспериментальные данные для $v=0$ и $v=1$. Характерно, что для $v=0$ величина $F_{a,0}$ монотонно спадает с уменьшением λ , а для $v=1$ форма $F_{a,1}$ имеет максимум в районе 265 нм, что также согласуется с известными экспериментальными данными.

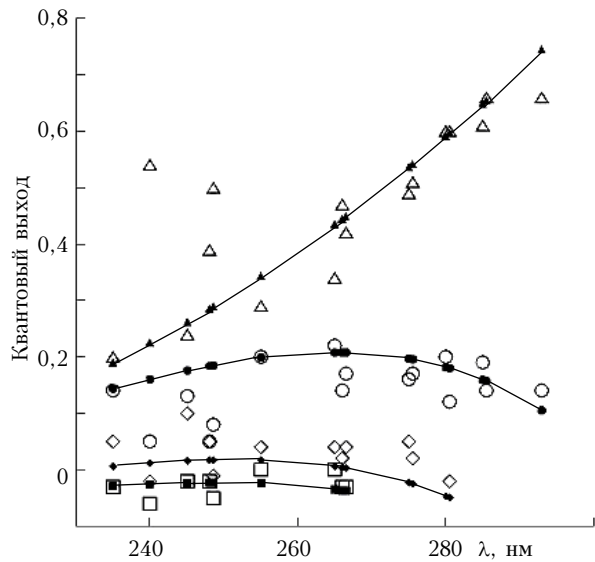


Рис. 2. Квантовые выходы молекул $O_2(a^1\Delta_g, v=0-3)$, рассчитанные по аппроксимационным формулам (14). Символы – экспериментальные данные (см. табл. 2): треугольники ($v=0$), круги ($v=1$), ромбы ($v=2$), квадраты ($v=3$), кривые с соответствующим символом – формула (14)

Для более высоких колебательных чисел простую физическую интерпретацию предложить сложно, но анализ показал, что формулы для более высоких v могут быть формально построены по аналогичному (4) и (7) принципу.

Для квантового выхода $O_2(a^1\Delta_g, v \geq 2)$

$$F_{a,2}(x) = C_2 x(1 - x - x^2/2), \quad (10)$$

где

$$C_2 = \frac{1 - C_0 x_2 - C_1 x_2(1 - x_2)}{x_2 \left(1 - x_2 - \frac{x_2^2}{2}\right)}, \quad (11)$$

$$F_{a,3}(x) = C_3 x \left(1 - x - \frac{x^2}{2} - \frac{x^3}{4}\right), \quad (12)$$

а

$$C_3 = \frac{1 - C_0 x_3 - C_1 x_3(1 - x_3) - C_2 x_3 \left(1 - x_3 - \frac{x_3^2}{2}\right)}{x_3 \left(1 - x_3 - \frac{x_3^2}{2} - \frac{x_3^3}{4}\right)}. \quad (13)$$

И общая формула

$$F_{a,v}(x) = C_v x \left(1 - x - \frac{x^2}{2} - \frac{x^3}{2^2} - \frac{x^4}{2^3} - \dots - \frac{x^v}{2^{v-1}}\right), \quad (14)$$

где

$$C_v = \left[1 - C_0 x_v - C_1 x_v (1 - x_v) - C_2 x_v \left(1 - x_v - \frac{x_v^2}{2} \right) - \dots - \right.$$

$$\left. - C_{v-1} x_v \left(1 - x_v - \frac{x_v^2}{2} - \dots - \frac{x_v^{v-1}}{2^{v-2}} \right) \right] /$$

$$\left/ x_v \left(1 - x_v - \frac{x_v^2}{2} - \dots - \frac{x_v^v}{2^{v-1}} \right) \right. \quad (15)$$

с учетом нормировки (8).

Для расчета C_0 – коэффициента нормировки для $v = 0$, необходимо было использовать пороговое значение $\lambda = 310$ нм (см. табл. 1), однако квантовый выход такого уровня достигает своего максимального значения начиная с $\lambda = 305$ нм, поэтому для расчета коэффициента нормировки этого уровня использовалось именно такое значение λ .

Для расчета коэффициента нормировки C_1 для уровня $v = 1$ использовалось пороговое значение колебательного уровня $v = 2$, так как квантовый выход $F_{a,1}$ достигает своего максимального значения в тот момент, когда начинает подключаться следующий колебательный уровень. Нормировки коэффициентов C_v для $v = 2\div 3$ проводились по аналогичному C_1 принципу.

Из рис. 2 видно, что кривые аппроксимаций квантовых выходов $F_{a,v}$ в целом хорошо согласуются с известными экспериментальными данными для всех значений $v = 0\div 3$. В табл. 3 приведены использованные значения x_v и нормировочные множители C_v (см. (15)) для соответствующих колебательных уровней $O_2(a^1\Delta_g, v)$.

Таблица 3

Константы для расчета значений нормировочных множителей

v	0	1	2	3
x_v	0,936	0,688	0,575	0,482
C_v	1,069	1,232	0,564	0,376

Предложенные аналитические формулы дают вполне удовлетворительное описание известных экспериментальных данных и для более высоких значений $v = 4\div 7$ [7], но данных для статистического анализа пока не достаточно.

3. Погрешность рассчитанных квантовых выходов $F_{a,v}$

В табл. 4 представлены среднеквадратические отклонения от экспериментальных данных квантовых выходов $F_{a,v}$, рассчитанных по аппроксимационным формулам (14) и в рамках классического и квантово-механического подходов из работы [8]. Среднеквадратические отклонения $\sigma(F_{a,v})$ рассчитаны для всех исследованных на данный момент экспериментальных точек (параметр n в табл. 4) в зависимости от длины волны. Из табл. 4 видно, что

Фотодиссоциация озона в полосе Хартли. Аналитическое описание квантовых выходов...
3. Оптика атмосферы и океана, № 7.

предложенные в настоящей статье аналитические выражения существенно лучше описывают известные на данный момент экспериментальные результаты.

Таблица 4

Среднеквадратические отклонения рассчитанных квантовых выходов $F_{a,v}$ от экспериментальных данных для разных моделей аппроксимации: (a) – классический подход, (б) – квантово-механический подход; n – число использованных экспериментальных точек

$\sigma(F_{a,0})$	$\sigma(F_{a,1})$	$\sigma(F_{a,2})$	$\sigma(F_{a,3})$	Примечание
0,027	0,015	0,012	0,007	Данная работа
0,029	0,020	0,011	0,014	[8] (a)
0,045	0,035	0,032	0,016	[8] (б)
16	16	13	9	n

Традиционно в расчетных моделях фотолиза озона для всей полосы Хартли берется единый квантовый выход, не зависящий от длины волны фотолитического излучения λ . Полученные в работе аппроксимации $F_{a,v}$ позволили проинтегрировать квантовые выходы продуктов фотолиза озона в зависимости от длины волны излучения λ в рамках модели [2].

4. Обсуждения и выводы

При фотолизе озона в полосе Хартли (2) в синглетном канале наряду с молекулами $O_2(a^1\Delta_g, v)$ образуются атомы $O(^1D)$. Квантовый выход атомов $O(^1D)$ равен суммарному квантовому выходу молекул $O_2(a^1\Delta_g, v)$ по всем колебательным числам v .

На рис. 3 представлены экспериментальные данные по квантовым выходам атомов $O(^1D)$, взятые из обзора [9] для $\lambda = 230\div 310$ нм. Кроме того, представлены экспериментальные данные из обзора [10] по квантовым выходам атомов $O(^1D)$ для интервала $\lambda = 193\div 230$ нм. Вертикальными линиями обозначен

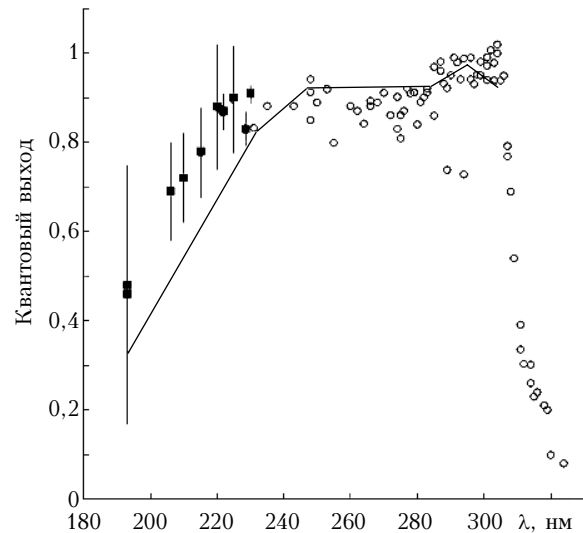


Рис. 3. Экспериментальные данные по квантовым выходам атомов $O(^1D)$: квадраты – вместе со значениями погрешностей [9], круги – [10]; суммарный квантовый выход молекул $O_2(a^1\Delta_g, v)$, рассчитанный по аппроксимационным формулам, – линия

интервал ошибок. Аномально высокая погрешность этих экспериментальных данных связана с тем, что систематических измерений в этой области не проводилось. Для сравнения на рис. 3 представлен также суммарный квантовый выход молекул $O_2(a^1\Delta_g, v)$, рассчитанный по аппроксимационным формулам (14).

Аналитические формулы для описания квантовых выходов $F_{a,v}$, предложенные в данной статье, не являются полиномиальной интерполяцией экспериментальных данных, поэтому можно ставить задачу экстраполяции значений $F_{a,v}$ в интервал длин волн ($\lambda \leq 230$ нм). Такая экстраполяция, как видно из рис. 3, лежит вблизи экспериментальных данных в районе $\lambda = 193 \div 230$ нм [10]. Причем экстраполированные значения суммарного квантового выхода молекул $O_2(a^1\Delta_g, v)$ имеют ту же самую зависимость от длины волны, что и экспериментальные значения. Это нам представляется позитивным, хотя и неожиданным результатом, что является подтверждением правильности выбора аппроксимации (14). Отметим, что суммарный квантовый выход молекул $O_2(a^1\Delta_g, v)$ на этом графике нормирован на квантовый выход синглетного канала фотолиза озона в полосе Хартли в интервале длин волн $\lambda = 230 \div 305$ нм.

Работа поддержана РФФИ (грант № 05-05-65318).

1. Mlynaczak M.G., Solomon S.C., Zaras D.S. An updated model for $O_2(a^1\Delta_g, v)$ concentrations in the mesosphere and lower mesosphere and implications for remote sensing of ozone at 1.27 μm // J. Geophys. Res. D. 1993. V. 98. N 10. P. 18639–18648.
2. Янковский В.А., Мануйлова Р.О. Новая самосогласованная модель дневных эмиссий $O_2(a^1\Delta_g)$ и $O_2(b^1\Delta_g^+)$ в средней атмосфере. Восстановление вертикального

профиля озона из измеренных профилей интенсивности этих эмиссий // Оптика атмосф. и океана. 2003. Т. 16. № 7. С. 582–586.

3. Svanberg M., Pettersson J.B.C., Murtagh D. Ozone photodissociation in the Hartley band: A statistical description of the ground state decomposition channel $O_2(X) + O(^3P)$ // J. Chem. Phys. 1995. V. 102. N 22. P. 8887–8896.
4. Sparks R.K., Carlson L.R., Snobatake K., Kowalczyk M.L., Lee Y.T. Ozone photolysis: A determination of the electronic and vibrational state distributions of primary products // J. Chem. Phys. 1980. V. 72. N 2. P. 1401–1402.
5. Valentini J.J., Gerrity D.P., Phillips D.L., Nieh J.-C., Tabor K.D. CARS spectroscopy of $O_2(a^1\Delta_g)$ from the Hartley band photodissociation of O_3 : Dynamics of the dissociation // J. Chem. Phys. 1987. V. 86. N 12. P. 6745–6756.
6. Thelen M.A., Gejo T., Harrison J.A., Huber J.R. Photo-dissociation of ozone in the Hartley band: Fluctuation of the vibrational state distribution in the $O_2(a^1\Delta_g, v)$ fragment // J. Chem. Phys. 1995. V. 103. N 18. P. 7946–7955.
7. Dylewski S.M., Geiser J.D., Houston P.L. The energy distribution, angular distribution, and alignment of the $O(^1D_2)$ fragment from the photodissociation of ozone between 235 and 305 nm // J. Chem. Phys. 2001. V 115. N 16. P. 7460–7473.
8. Qu Z.-W., Zhu H., Grebenchikov S.Yu., Schinke R. The photodissociation of ozone in the Hartley band: A theoretical analysis // J. Chem. Phys. 2005. V. 123. N 7. Article: 074305.
9. Michelsen H.A., Salawitch R.J., Wennberg P.O., Anderson J.G. Production of $O(^1D)$ from photolysis of O_3 // Geophys. Res. Lett. 1994. V. 21. N 20. P. 2227–2230.
10. Nishida S., Taketani F., Takahashi K., Matsumi Y. Quantum yield for $O(^1D)$ production from ozone photolysis in the wavelength range of 193–225 nm // J. Phys. Chem. A. 2004. V. 108. N 14. P. 2710–2714.

V.A. Yankovsky, V.A. Kuleshova. Photodissociation of ozone in the Hartley band. Analytical description of $O_2(a^1\Delta_g, v = 0 \div 3)$ quantum yields depending on the wavelength.

In the modern photochemical model of dissociation of ozone in the Hartley band [Yankovsky V.A., Manyilova R.O. // Optics of the Atmosphere and Ocean. 2003. V. 16. N 7. P. 582–586] it is necessary to take into account formation of metastable electronic-excited molecules of oxygen $O_2(a^1\Delta_g, v)$ with a high level of vibrational excitation.

In this paper it is offered the analytical approximation for quantum yields of electronic-vibrationally excited molecules $O_2(a^1\Delta_g, v = 0 \div 3)$ in photolysis of ozone in the Hartley band which depends on the wave length λ of a quantum. The analytical formula for all quantum yields of electronic-vibrationally excited molecules $O_2(a^1\Delta_g, v)$ is derived. This formula depends on a threshold of formation of the proper vibrational level of molecule $O_2(a^1\Delta_g, v)$ and from an energy of a quantum. The obtained formula good agrees with known experimental data.